

DISTRIBUCIÓN DE FORAMINÍFEROS PLANCTÓNICOS EN SEDIMENTOS SUPERFICIALES DEL GOLFO DE CALIFORNIA

Gloria A. Rozo-Vera¹ y
Ana Luisa Carreño²

RESUMEN

Se realizó un estudio zoogeográfico de 48 taxa de foraminíferos planctónicos, provenientes de 47 muestras superficiales del Golfo de California. *Globigerina pachyderma incompta*, *G. bulloides* y *Globigerinita glutinata* representan los taxa más abundantes y de distribución más amplia. Los conjuntos faunísticos con características particulares parecen reflejar masas de agua predominantes en el golfo, así como diferencias en temperatura y salinidad.

De igual manera, los patrones de distribución de algunas especies parecen indicar zonas de surgencias y frentes oceánicos, así como áreas influenciadas por las masas de agua del Océano Pacífico Tropical Oriental. En términos generales, este estudio demuestra que el Golfo de California contiene asociaciones de foraminíferos planctónicos euritermales.

Palabras clave: foraminífero, surgencias, frente oceánico, Golfo de California, México.

ABSTRACT

A study of planktonic foraminifera from 47 surface sediment samples from the Gulf of California yielded distributional data of 48 species and subspecies. *Globigerina pachyderma incompta*, *G. bulloides* and *Globigerinita glutinata* constitute the most abundant and widely distributed taxa. Distinctly different faunal assemblages are thought to reflect predominant surface water masses in the gulf and, in turn, differences in temperature and salinity.

In addition, distributional patterns of some species appear to mark upwelling zones and oceanic fronts, as well as areas influenced by Eastern Equatorial Pacific Ocean water. In general terms, this study demonstrates that the Gulf of California contains eurythermal planktonic foraminiferal assemblages.

Key words: foraminifera, upwelling, oceanic fronts, Gulf of California, Mexico.

INTRODUCCIÓN

Los estudios sobre foraminíferos realizados en México durante las tres últimas décadas tienen, fundamentalmente, una orientación bioestratigráfica y, en su gran mayoría, la investigación se circunscribe a los foraminíferos bentónicos lagunares.

En la costa mexicana del Océano Pacífico se ha realizado, con objetivos diversos, investigaciones numerosas sobre las poblaciones vivas o subfósiles de foraminíferos; sin embargo, en el Golfo de California se ha estudiado más a los foraminíferos bentónicos (cf. Phleger, 1964) y a otros grupos micropaleontológicos, que a las poblaciones de foraminíferos planctónicos.

Los trabajos clásicos de Bradshaw (1959) y Parker (1973, relacionados con poblaciones vivas, y el de Bandy (1961,) sobre sedimentos superficiales, fueron complementados con el estudio bioestratigráfico de Matoba y Oda (1982), en el cual se presenta la evolución de los foraminíferos planctónicos, desde el Plioceno superior

hasta el Reciente, en el área de Guaymas, Sonora.

El estudio de la fauna actual del Golfo de California es de importancia fundamental, ya que el análisis de las poblaciones de foraminíferos permite llevar a cabo extrapolaciones del comportamiento de las microfaunas fósiles de esta área y contribuye a la interpretación de la evolución tectónica, climatológica, oceanográfica y, sobre todo, biológica, ocurrida en el Golfo de California desde su formación.

A finales de la primavera de 1982, un grupo de investigadores de los Institutos de Geología y Ciencias del Mar y Limnología de la UNAM, así como de la Universidad Estatal de Oregon, E.U.A., inició una campaña oceanográfica (PALEO-1, BAP-82) a bordo de B/O "El Puma", a fin de estudiar los factores que intervienen en la formación de los sedimentos laminados. El objetivo principal fue obtener la información paleoclimática grabada en los sedimentos del Golfo de California, para analizar los diferentes componentes sedimentarios; es decir, análisis del factor eólico (polen y esporas), factor sedimentario (textura, tipo de sedimento, velocidad de sedimentación), organismos bentónicos (foraminíferos y ostrácodos), así como organismos planctónicos (radiolarios, silicoflagelados, nannoplancton calcáreo y foraminíferos).

En vista de la escasez de estudios con foraminíferos planctónicos en el golfo propiamente dicho, se decidió que la primera fase del trabajo fuese el inventario de

¹ Instituto de Ciencias del Mar y Limnología, Universidad Nacional Autónoma de México, Ciudad Universitaria, Delegación Coyoacán, 04510 México, D. F. Actualmente en Estación Regional del Noroeste, Instituto de Geología, Universidad Nacional Autónoma de México, Apartado Postal 1039, Hermosillo, Sonora 83000.

² Instituto de Geología, Universidad Nacional Autónoma de México, Ciudad Universitaria, Delegación Coyoacán, 04510 México, D. F.

las especies y subespecies de foraminíferos planctónicos presentes en los sedimentos superficiales. Posteriormente, se analizó la distribución y comportamiento de estos conjuntos faunísticos, como posibles indicadores de las masas de agua superficiales predominantes en el golfo. Estos taxa fueron utilizados como marcadores biológicos (Bradshaw, 1959; Phleger, 1960, 1976; Rögl y Bolli, 1973, entre otros).

ÁREA DE ESTUDIO

Álvarez-Borrego (1983) resumió acertadamente las características del Golfo de California desde el punto de vista meteorológico, de las diferentes corrientes y masas de agua que predominan en él, mareas y condiciones hidrográficas en general, así como los aspectos relacionados con la distribución de oxígeno, bióxido de carbono, nutrientes, productividad primaria, fitoplancton y zooplancton.

Por otra parte, se continúa la investigación sobre la historia geológica del golfo, para desarrollar teorías sobre su formación temporal y espacial. Cabe señalar que Moore y Curray (1982) realizaron una compilación de las distintas teorías existentes.

La campaña oceanográfica se desarrolló en el Golfo de California, cuya extensión aproximada es de 1,000 km de longitud y 150 km de anchura, localizado entre los 32 y 23°N y 115 y 107°W.

MATERIALES Y MÉTODO

El plan de campaña definió transectos en las partes septentrional, central y meridional del golfo, variando, en cada uno de ellos, el número de estaciones. La ubicación de éstas se realizó mediante radar y señales de satélite (Figura 1).

De acuerdo con los objetivos de la investigación, se utilizó exclusivamente las muestras superficiales del nucleador de caja tipo Reineck, considerando un total de 47 muestras. La localización de las estaciones y la textura de los sedimentos están señaladas en la Tabla 1.

Se obtuvo muestra del primer centímetro cúbico de sedimento superficial del núcleo de caja. De este modo, son factibles dos tipos de estudio cuantitativo: (1) el número total de individuos contenidos en una muestra con cierto peso (en gramos) de referencia, esto es, la abundancia de la microfauna en el sedimento; (2) el predominio de formas, es decir, el porcentaje de cada especie en la muestra estudiada. Para este tipo de tratamiento estadístico, es necesario contar el número de individuos, a fin de que las proporciones relativas entre las especies sean independientes de la cantidad y tipo de sedimento.

Por lo anterior, se consideró un peso constante para todas las muestras de 3 g de sedimento seco y, estadísticamente, se tomó como base 300 individuos para estimar su abundancia relativa (Phleger, 1960; Walton, 1964). Cuando la cantidad total fue inferior a 300, se consideró todos los individuos presentes en la muestra, mientras que en aquellas donde fueron muy abundantes, se empleó el cuarteador Otto para generar submuestras y facilitar los conteos. En la Tabla 2, se presenta la abundancia absoluta por estación, por especie y totales, así

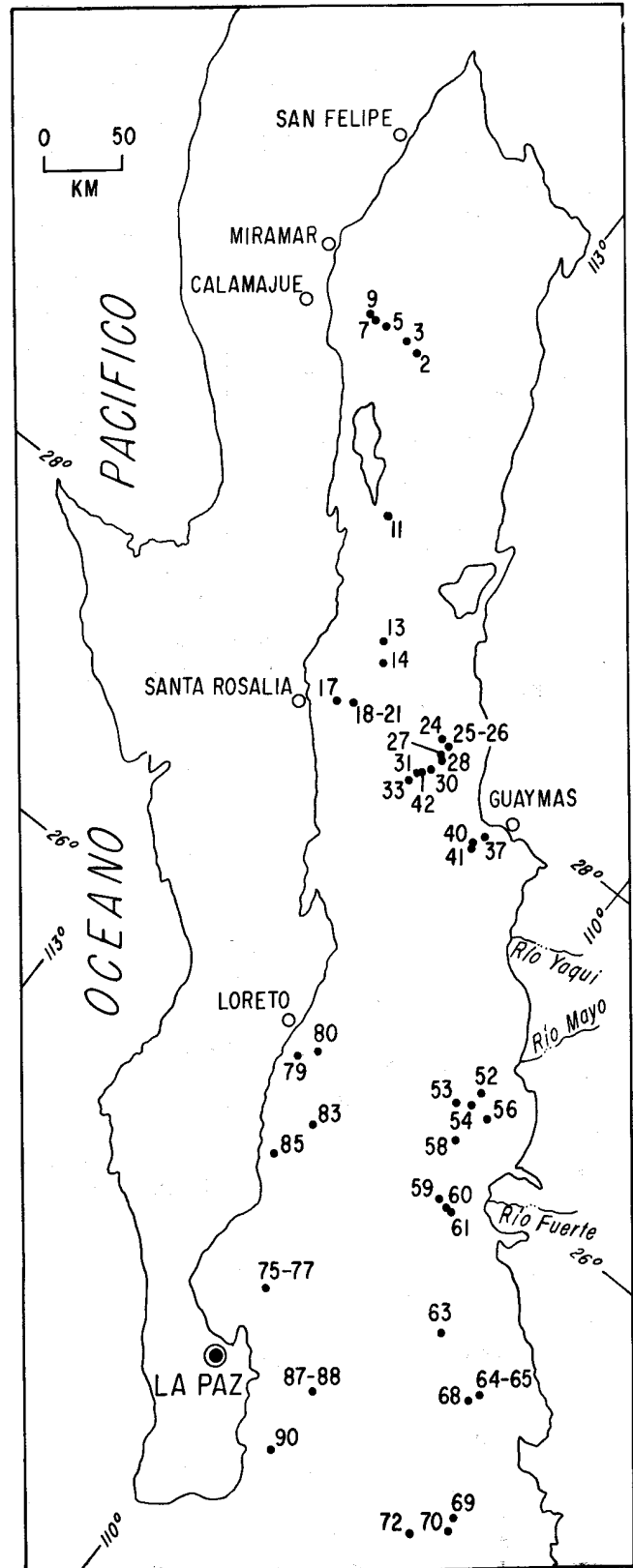


Figura 1.- Mapa de ubicación de las localidades de muestreo.

como el número de especies por estación.
Se lavó y procesó las muestras de acuerdo con las

Tabla 1.- Ubicación, profundidad y composición textural de las muestras superficiales, obtenidas durante la Campaña Oceanográfica PALEO-I, BAP-82, en el Golfo de California.

| MUESTRA | LATITUD | LONGITUD | PROFUNDIDAD | COMPOSICIÓN |
|---------|---------|----------|-------------|--------------------|
| 2 | 29°58' | 113°38' | 230 | arcilla-limo |
| 3 | 30°00' | 113°47' | 365 | arcilla-limo |
| 5 | 29°59' | 114°03' | 448 | arcilla-limo |
| 7 | 29°59' | 114°06' | 380 | arcilla-limo |
| 9 | 30°00' | 114°08' | 344 | ---- |
| 11 | 29°01' | 113°00' | 348 | limo-arcilla-arena |
| 13 | 28°21' | 112°28' | 915 | limo-arena-arcilla |
| 14 | 28°15' | 112°24' | 897 | arena-arcilla-limo |
| 17 | 27°51' | 112°31' | 620 | arena-limo |
| 18 | 27°56' | 112°23' | 848 | arcilla-limo |
| 21 | 27°56' | 112°23' | 850 | arcilla-limo |
| 24 | 28°05' | 111°44' | 325 | arcilla-arena |
| 25 | 28°05' | 111°41' | 356 | arcilla-arena |
| 26 | 28°04' | 111°41' | 389 | limo-arena |
| 27 | 28°01' | 111°40' | 477 | limo-arcilla |
| 28 | 27°59' | 111°40' | 520 | lodo |
| 30 | 27°54' | 111°42' | 608 | arcilla-limo |
| 31 | 27°49' | 111°43' | 668 | ---- |
| 33 | 27°46' | 111°44' | 804 | arcilla-limo |
| 37 | 27°46' | 111°04' | 453 | ---- |
| 40 | 27°40' | 111°05' | 607 | limo-arcilla |
| 41 | 27°38' | 111°04' | 832 | limo-arcilla |
| 42 | 27°51' | 111°43' | 647 | ---- |
| 52 | 26°26' | 109°55' | 515 | arcilla-limo |
| 53 | 26°17' | 110°02' | 745 | ---- |
| 54 | 26°18' | 109°56' | 609 | arcilla-limo |
| 56 | 26°19' | 109°46' | 406 | arcilla-limo |
| 58 | 26°04' | 109°49' | 595 | arcilla-limo |
| 59 | 25°39' | 109°40' | 653 | arena-limo-arcilla |
| 60 | 25°40' | 109°35' | 373 | arcilla-limo |
| 61 | 25°40' | 109°34' | 163 | limo-arcilla-arena |
| 63 | 25°00' | 109°01' | 645 | ---- |
| 64 | 24°50' | 108°32' | 212 | arena-arcilla |
| 65 | 24°48' | 108°32' | 645 | arcilla-limo |
| 68 | 24°44' | 108°33' | 860 | limo-arcilla |
| 69 | 24°05' | 108°03' | 227 | arcilla-limo-arena |
| 70 | 23°58' | 108°08' | 600 | lodo |
| 72 | 23°49' | 108°15' | 895 | arcilla-arena-limo |
| 75 | 24°32' | 110°15' | 741 | ---- |
| 77 | 24°33' | 110°15' | 725 | ---- |
| 79 | 25°52' | 111°08' | 256 | lodo-arena |
| 80 | 25°57' | 111°01' | 615 | lodo-arena |
| 83 | 25°32' | 110°43' | 620 | lodo-arena |
| 85 | 25°16' | 110°51' | 670 | ---- |
| 87 | 24°09' | 109°30' | 482 | arcilla-arena |
| 88 | 24°09' | 109°30' | 850 | arena |
| 90 | 23°41' | 109°27' | 978 | arcilla-arena |

técnicas clásicas propuestas para foraminíferos (Newmann, 1967).

Para la elaboración de los mapas de distribución (Figuras 2 a la 4), se calculó los porcentajes relativos de la población total a partir del tratamiento estadístico de la abundancia absoluta (Margalef, 1977).

Las especies consideradas como diagnósticas o particularmente importantes para el análisis que se llevó a cabo fueron ilustradas usando microscopía electrónica de barrido (Figura 5).

RESULTADOS

De los 48 taxa identificados (Tabla 3), cuatro fueron dejados en nomenclatura abierta: *Globorotaloides* sp. A, *G.* sp. B, *Turborotalita* sp. A y *T.* sp. B. En las muestras se presenta un porcentaje alto de formas de

transición por lo cual se tiene reserva sobre la asignación correcta específica o subespecífica de las siguientes: *Globigerina bulloides* aff. *G. bulloides umbilicata*, *G.* sp. cf. *G. pachyderma incompta*, *G.* sp. aff. *G. riveroae*, *Globigerinoides* sp. cf. *G. parkerae* y *Globoquadrina dutertrei* A.

Se reporta, por primera vez para el Golfo de California, las especies siguientes: *Globigerina calida calida*, *G. calida praecalida*, *G. megastoma* s. l., *G.* sp. aff. *G. riveroae*, *Globigerinoides* sp. cf. *G. parkerae*, *G. trilobus immaturus*, *Globorotaloides trema*, *Hastigerina siphonifera*, *Pulleniatina finalis* y *P. primalis*.

En términos generales, los foraminíferos planctónicos no fueron muy abundantes; el número mayor por estación fue de 9,600 y el menor de 97; el número de taxa por estación osciló entre 9 y 32 (Tabla 2); los morfotipos más abundantes y con distribución más amplia son los que se menciona en seguida: *Globigerina pachyderma incompta*, *G. bulloides quadrilatera* y *Globigerinita glutinata*.

Abundantes, aunque en menor proporción, pero siempre distribuidas ampliamente son: *Globigerina megastoma* s. l., *G. bulloides apertura*, *G. bulloides bulloides* (Figura 2), *G. quinqueloba*, *Globigerinoides ruber* y *Globorotalia acostaensis*.

Algunas especies relativamente abundantes, cuya frecuencia mayor se concentra en ciertas áreas específicas, son: *Globigerina bermudezi*, *G. bulloides umbilicata* (Figura 2), *G. calida calida*, *G. calida praecalida*, *G.* sp. aff. *G. riveroae*, *G.* sp. cf. *G. falconensis*, *Globigerinoides ruber*, *Globoquadrina dutertrei* A, *Globorotalia menardii menardii*, *G. tumida* y *Orbulina universa*.

De las especies más abundantes, cuya frecuencia mayor se registra en zonas determinadas, sólo se puede mencionar a: *Globigerina pachyderma incompta* y *Globigerinita glutinata*.

Las 28 especies que no fueron mencionadas antes presentan una distribución muy heterogénea y, en algunos casos, errática, con promedios de abundancia relativa muy bajos respecto al total de individuos por especie y número de especies por estación.

No es sorprendente que el número de especies que aquí se incluye sea mayor que el de las citadas por Bradshaw (1959) y Parker (1973), ya que los taxa mencionados por estos autores corresponden a especies vivas, provenientes de muestreos estacionales diferentes (lo cual explica también las ligeras discrepancias entre ambos autores), mientras que el presente muestreo y el de Bandy (1961) están constituidos por especies contenidas en sedimentos superficiales, acumuladas durante varias estaciones anuales.

Asimismo, debe destacarse la gran concordancia que existe entre las especies reportadas por Matoba y Oda (1982) y las del presente estudio, en el área de Guaymas.

Un aspecto muy importante, relacionado con la abundancia de los taxa aquí citados, es el hecho de que algunos especímenes encontrados pudieran ser representantes retrabajados, provenientes de sedimentos más antiguos expuestos en el piso oceánico; este sería el caso, probablemente, de *Pulleniatina primalis* y *Globorotalia acostaensis*.

Tabla 2.- Abundancia absoluta, total y por especie. Número de especies por estación.

| ESTACIÓN PALEO I / BAP-82 | 2 | 3 | 5 | 7 | 9 | 11 | 13 | 14 | 17 | 18 | 21 | 24 | 25 | 26 | 27 | 28 | 30 | 31 | 33 | 37 | 40 | 41 | 42 | 52 | 53 | 54 | |
|--|------|-----|-----|-----|------|------|----|-----|------|-----|-----|-----|------|------|-----|------|------|------|------|-----|-----|-----|------|-----|------|-----|--|
| ESPECIE NÚM. | | | | | | | | | | | | | | | | | | | | | | | | | | | |
| 1.- <i>Globigerina bermudezi</i> | | | | | | | | | | | | | | | | | | | | | | | | | | | |
| 2.- <i>G. bulloides apertura</i> | | | | | | | | | | | | | | | | | | | | | | | | | | | |
| 3.- <i>G. bulloides bulloides</i> | 1856 | 56 | 41 | 15 | 48 | 472 | 10 | 14 | 280 | 34 | 26 | 18 | 64 | 96 | 8 | 40 | 112 | 40 | 44 | 10 | 44 | 5 | 28 | 24 | 128 | 20 | |
| 4.- <i>G. bulloides quadrilatera</i> | 896 | 24 | 36 | 23 | 88 | 128 | 5 | 25 | 184 | 24 | 32 | 36 | 84 | 124 | 13 | 140 | 192 | 96 | 80 | 30 | 24 | 27 | 132 | 104 | 136 | 40 | |
| 5.- <i>G. bulloides umbilicata</i> | 2400 | 46 | 50 | 55 | 236 | 384 | 17 | 53 | 368 | 40 | 90 | 24 | 56 | 160 | 5 | 176 | 416 | 204 | 160 | 33 | 100 | 19 | 168 | 66 | 232 | 52 | |
| 6.- <i>G. bulloides aff. G. umbilicata</i> | 256 | 20 | 14 | 9 | 16 | 32 | 1 | 2 | 48 | 8 | | | | | | | | | | | | | | | | | |
| 7.- <i>G. calida calida</i> | 224 | 11 | 14 | 5 | 28 | 80 | 3 | 2 | 40 | 3 | 10 | 2 | 8 | 12 | 2 | 40 | 24 | 8 | 8 | 6 | 6 | 5 | 28 | 2 | 8 | 16 | |
| 8.- <i>G. calida praecalida</i> | 288 | 5 | 6 | 28 | 24 | 3 | 5 | 48 | 4 | 10 | | | | | | | | | | | | | | | | | |
| 9.- <i>G. sp. cf. G. falconensis</i> | 160 | | 1 | 2 | | | | | | | | | | | | | | | | | | | | | | | |
| 10.- <i>G. megastoma s. l.</i> | 928 | 32 | 29 | 50 | 160 | 264 | 7 | 9 | 176 | 26 | 26 | 14 | 40 | 48 | 2 | 64 | 392 | 84 | 12 | 16 | 26 | 3 | 80 | 8 | 312 | 64 | |
| 11.- <i>G. pachyderma incompta</i> | 896 | 30 | 38 | 38 | 164 | 232 | 21 | 65 | 312 | 31 | 144 | 378 | 652 | 248 | 8 | 96 | 232 | 112 | 228 | 26 | 76 | 28 | 136 | 120 | 80 | 34 | |
| 12.- <i>G. pachyderma pachyderma</i> | | | | | | | | | | | | | | | | | | | | | | | | | | | |
| 13.- <i>G. sp. aff. G. pachyderma incompta</i> | | | | | | | | | | | | | | | | | | | | | | | | | | | |
| 14.- <i>G. quinqueloba</i> | | | | | | | | | | | | | | | | | | | | | | | | | | | |
| 15.- <i>G. sp. aff. G. riveroae</i> | 512 | 19 | 14 | 1 | 20 | 152 | 6 | 6 | 136 | 7 | 30 | 2 | 16 | 56 | 9 | 16 | 40 | 52 | 36 | 32 | 6 | 9 | 12 | 8 | 32 | 50 | |
| 16.- <i>Globigerinita glutinata</i> | 96 | 12 | | 27 | 124 | 56 | 6 | 50 | 8 | 50 | 134 | 2 | 16 | 204 | 48 | 100 | 232 | 236 | 316 | 54 | 74 | 98 | 168 | 152 | 672 | 124 | |
| 17.- <i>G. uvula uvula</i> | | | | | | | | | | | | | | | | | | | | | | | | | | | |
| 18.- <i>Globigerinoides conglobatus</i> | | | | | | | | | | | | | | | | | | | | | | | | | | | |
| 19.- <i>G. sp. cf. G. parkerae</i> | | | | | | | | | | | | | | | | | | | | | | | | | | | |
| 20.- <i>G. elongatus</i> | | | | | | | | | | | | | | | | | | | | | | | | | | | |
| 21.- <i>G. ruber</i> | 160 | 6 | 4 | 3 | 8 | 88 | 1 | 3 | 80 | 5 | 4 | | | | | | | | | | | | | | | | |
| 22.- <i>G. tenellus</i> | | | | | | | | | | | | | | | | | | | | | | | | | | | |
| 23.- <i>G. trilobus immaturus</i> | | | | | | | | | | | | | | | | | | | | | | | | | | | |
| 24.- <i>G. trilobus sacculifer</i> | | | | | | | | | | | | | | | | | | | | | | | | | | | |
| 25.- <i>G. trilobus trilobus</i> | | | | | | | | | | | | | | | | | | | | | | | | | | | |
| 26.- <i>Globoquadrina dutertrei s. l.</i> | 96 | 1 | 2 | 3 | 4 | 24 | | | 8 | 1 | 8 | | | | | | | | | | | | | | | | |
| 27.- <i>G. dutertrei A</i> | 12 | 26 | 16 | 96 | 264 | 9 | 16 | 264 | 6 | 1 | 8 | | | | | | | | | | | | | | | | |
| 28.- <i>G. dutertrei blowi</i> | | | | | | | | | | | | | | | | | | | | | | | | | | | |
| 29.- <i>Globorotalia acostaensis</i> | 640 | 14 | 10 | 24 | 64 | 40 | 7 | 24 | 40 | 21 | 42 | 36 | 36 | 68 | 6 | 128 | 112 | 64 | 48 | 22 | 48 | 23 | 100 | 34 | 208 | 70 | |
| 30.- <i>G. hirsuta</i> | | | | | | | | | | | | | | | | | | | | | | | | | | | |
| 31.- <i>G. menardii cultrata</i> | 64 | | | | | | | | | | | | | | | | | | | | | | | | | | |
| 32.- <i>G. menardii menardii</i> | 32 | | | | | | | | | | | | | | | | | | | | | | | | | | |
| 33.- <i>G. scitula</i> | | | | | | | | | | | | | | | | | | | | | | | | | | | |
| 34.- <i>G. tumida</i> | | | | | | | | | | | | | | | | | | | | | | | | | | | |
| 35.- <i>Globorotaloides trema</i> | | | | | | | | | | | | | | | | | | | | | | | | | | | |
| 36.- <i>G. sp. A</i> | | | | | | | | | | | | | | | | | | | | | | | | | | | |
| 37.- <i>G. sp. B</i> | | | | | | | | | | | | | | | | | | | | | | | | | | | |
| 38.- <i>Hastigerina aequilateralis</i> | | | | | | | | | | | | | | | | | | | | | | | | | | | |
| 39.- <i>H. siphonifera</i> | | | | | | | | | | | | | | | | | | | | | | | | | | | |
| 40.- <i>Orbulina suturalis</i> | | | | | | | | | | | | | | | | | | | | | | | | | | | |
| 41.- <i>O. univversa</i> | | | | | | | | | | | | | | | | | | | | | | | | | | | |
| 42.- <i>Pulleniatina finalis</i> | | | | | | | | | | | | | | | | | | | | | | | | | | | |
| 43.- <i>P. obliquiloculata</i> | | | | | | | | | | | | | | | | | | | | | | | | | | | |
| 44.- <i>P. primalis</i> | | | | | | | | | | | | | | | | | | | | | | | | | | | |
| 45.- <i>Turborotalita anfracta</i> | | | | | | | | | | | | | | | | | | | | | | | | | | | |
| 46.- <i>T. iota</i> | | | | | | | | | | | | | | | | | | | | | | | | | | | |
| 47.- <i>T. sp. A</i> | | | | | | | | | | | | | | | | | | | | | | | | | | | |
| 48.- <i>T. sp. B</i> | | | | | | | | | | | | | | | | | | | | | | | | | | | |
| TOTAL DE INDIVIDUOS POR ESTACIÓN | 9600 | 300 | 300 | 300 | 1200 | 2400 | 99 | 300 | 2400 | 300 | 600 | 594 | 1200 | 1200 | 128 | 1200 | 2288 | 1148 | 1200 | 300 | 600 | 257 | 1196 | 600 | 2400 | 600 | |
| NÚMERO DE ESPECIES POR ESTACIÓN | 17 | 15 | 15 | 19 | 20 | 19 | 16 | 21 | 26 | 23 | 21 | 12 | 19 | 20 | 16 | 21 | 27 | 24 | 20 | 19 | 27 | 17 | 23 | 17 | 24 | 25 | |

Tabla 2 (Continuación).

| ESTACIÓN PALEO I / BAP-82 | 56 | 58 | 59 | 60 | 61 | 63 | 64 | 65 | 68 | 69 | 70 | 72 | 75 | 77 | 79 | 80 | 83 | 85 | 87 | 88 | 90 | | | | | | |
|--|-----|-----|-----|----|----|-----|----|----|-----|-----|-----|-----|-----|-----|-----|-----|-----|-----|-----|------|------|----|--|--|--|--|--|
| ESPECIE NÚM. | | | | | | | | | | | | | | | | | | | | | | | | | | | |
| 1.- <i>Globigerina bermudezi</i> | | | | | | | | | | | | | | | | | | | | | | | | | | | |
| 2.- <i>G. bulloides apertura</i> | 4 | 88 | 40 | 4 | 15 | 64 | 5 | 10 | 4 | 256 | 12 | 64 | 112 | 112 | 120 | 320 | 256 | 56 | 64 | 352 | 424 | | | | | | |
| 3.- <i>G. bulloides bulloides</i> | 12 | 120 | 68 | 28 | 34 | 84 | 44 | 22 | 16 | 136 | 72 | 448 | 176 | 240 | 144 | 288 | 320 | 36 | 256 | 352 | 232 | | | | | | |
| 4.- <i>G. bulloides quadrilatera</i> | 11 | 184 | 84 | 16 | 25 | 168 | 31 | 33 | 38 | 512 | 124 | 224 | 304 | 320 | 216 | 912 | 672 | 228 | 864 | 1280 | 160 | | | | | | |
| 5.- <i>G. bulloides umbilicata</i> | | | | | | | | | | | | | | | | | | | | | | | | | | | |
| 6.- <i>G. bulloides aff. G. umbilicata</i> | | | | | | | | | | | | | | | | | | | | | | | | | | | |
| 7.- <i>G. calida calida</i> | 112 | 28 | 1 | | | 4 | | | | | | | | | | | | | | | | | | | | | |
| 8.- <i>G. calida praecalida</i> | 56 | 20 | | | | 7 | | | | | | | | | | | | | | | | | | | | | |
| 9.- <i>G. sp. cf. G. falconensis</i> | | | | | | | | | | | | | | | | | | | | | | | | | | | |
| 10.- <i>G. megastoma s. l.</i> | 408 | 152 | 4 | 10 | 36 | 11 | 4 | 10 | 56 | 32 | | | | | | | | | | | | | | | | | |
| 11.- <i>G. pachyderma incompta</i> | 12 | 136 | 36 | 9 | 41 | 140 | 13 | 23 | 12 | 168 | 40 | 64 | 32 | 208 | 200 | 168 | 368 | 336 | 80 | 1792 | 1600 | 24 | | | | | |
| 12.- <i>G. pachyderma pachyderma</i> | | | | | | | | | | | | | | | | | | | | | | | | | | | |
| 13.- <i>G. sp. aff. G. pachyderma incompta</i> | | | | | | | | | | | | | | | | | | | | | | | | | | | |
| 14.- <i>G. quinqueloba</i> | 17 | 8 | 64 | 17 | 17 | 8 | 30 | 40 | 16 | 48 | 80 | | | | | | | | | | | | | | | | |
| 15.- <i>G. sp. aff. G. riveroae</i> | | | | | | | | | | | | | | | | | | | | | | | | | | | |
| 16.- <i>Globigerinita glutinata</i> | 26 | 400 | 264 | 82 | 98 | 212 | 93 | 83 | 144 | 536 | 472 | 96 | 504 | 392 | 248 | 432 | 480 | 120 | 128 | 160 | 56 | | | | | | |
| 17.- <i>G. uvula uvula</i> | | | | | | | | | | | | | | | | | | | | | | | | | | | |
| 18.- <i>Globigerinoides conglobatus</i> | 48 | 12 | 1 | | | 20 | | | 3 | 16 | 8 | | | | | | | | | | | | | | | | |
| 19.- <i>G. sp. cf. G. parkerae</i> | | | | | | | | | | | | | | | | | | | | | | | | | | | |
| 20.- <i>G. elongatus</i> | | | | | | | | | | | | | | | | | | | | | | | | | | | |
| 21.- <i>G. ruber</i> | 152 | 40 | | | | 52 | 3 | 6 | 2 | 88 | 20 | 96 | 32 | 16 | 136 | 304 | 144 | 40 | 512 | 416 | 128 | | | | | | |
| 22.- <i>G. tenellus</i> | | | | | | | | | | | | | | | | | | | | | | | | | | | |
| 23.- <i>G. trilobus immaturus</i> | 8 | 4 | | | | | | | | | | | | | | | | | | | | | | | | | |
| 24.- <i>G. trilobus sacculifer</i> | 24 | 16 | | | | 20 | | | 2 | 2 | 48 | 8 | | | | | | | | | | | | | | | |
| 25.- <i>G. trilobus trilobus</i> | | | | | | | | | | | | | | | | | | | | | | | | | | | |
| 26.- <i>Globoquadrina dutertrei s. l.</i> | 24 | 8 | | | | 12 | 3 | | 1 | 56 | 8 | | | | | | | | | | | | | | | | |

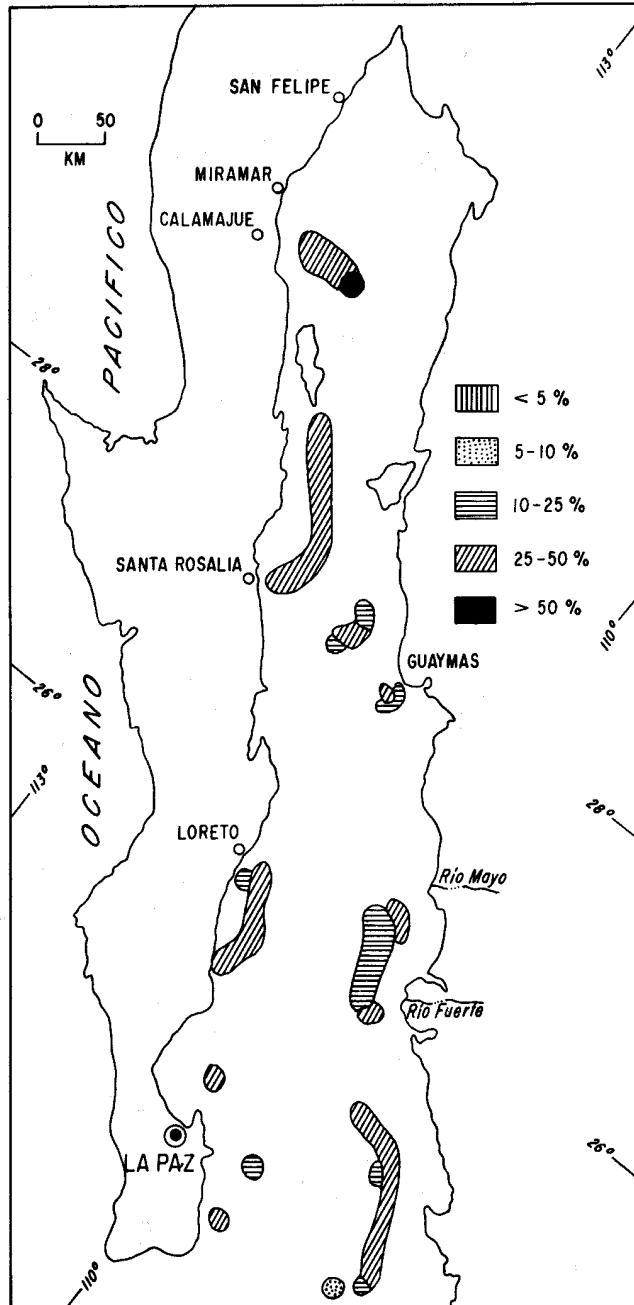


Figura 2.- Distribución del grupo *Globigerina bulloides* en el área muestreada del Golfo de California; comprende *G. bulloides apertura*, *G. bulloides bulloides*, *G. bulloides quadrilatera*, *G. bulloides umbilicata* y *G. bulloides* aff. *G. umbilicata*. Porcentajes relativos a la población total.

Débito a la influencia que representa en la asignación específica o subspecífica y, por tanto, en el gran número de especies reportadas en este artículo, es necesario analizar la variabilidad dentro del grupo *Globigerina bulloides* y del complejo *Globoquadrina dutertrei*-*Globigerina pachyderma incompta*.

En particular, el grupo *Globoquadrina dutertrei* ha sufrido históricamente infinidad de modificaciones en su clasificación, de acuerdo con las características que los distintos autores han considerado como diagnósticas para asignarlas dentro de uno u otro género (Banner y

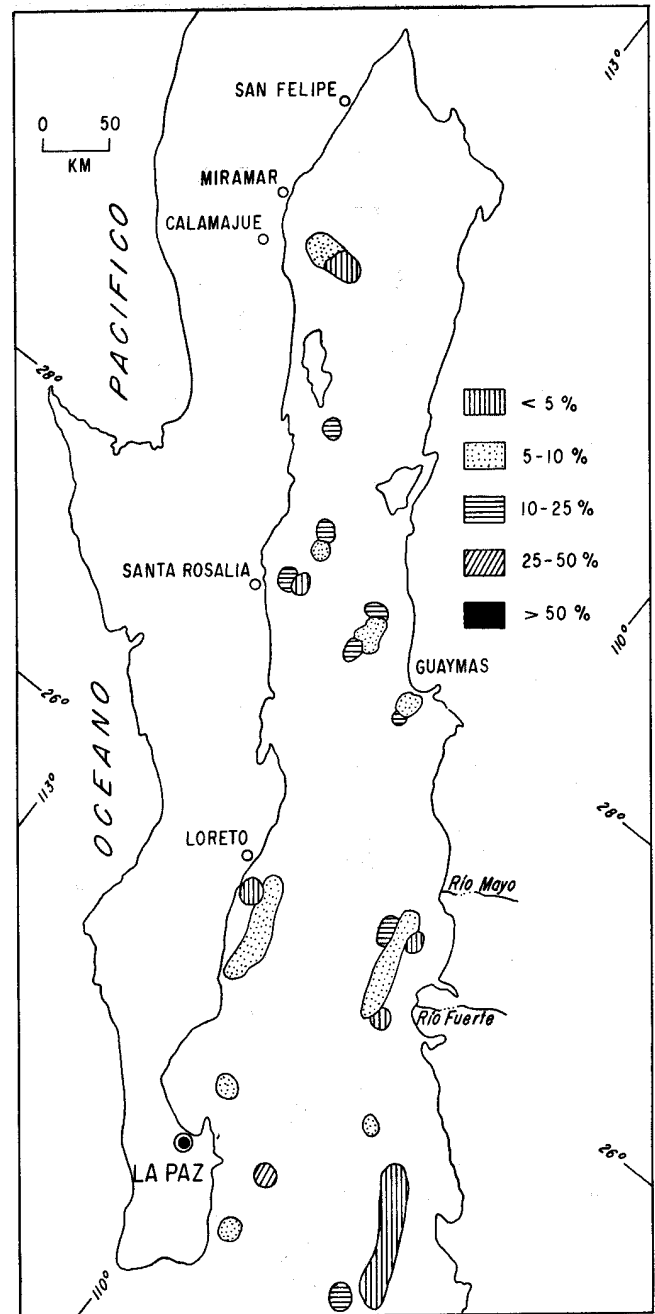


Figura 3.- Distribución del grupo *Globoquadrina dutertrei* en el área muestreada del Golfo de California; comprende *G. dutertrei* s. l., *G. dutertrei* A (Rozo-Vera, 1984) y *G. dutertrei blowi*. Porcentajes relativos a la población total.

Blow, 1960; Parker, 1962; Bandy *et al.*, 1967; Steineck y Fleisher, 1978, entre otros).

En el Golfo de California, este grupo está bien representado por *Globoquadrina dutertrei blowi*, tal como fue definida por Rögl y Bolli (1973); sin embargo, existe un gran número de morfotipos que fueron considerados como *G. dutertrei* A, mientras que otros fueron agrupados en *G. dutertrei* s. l., para evitar una nomenclatura abierta infinitamente y de poco valor. En nuestro concepto, todas estas gradaciones morfológicas corresponden a ecotipos que se originaron en respuesta a las dife-

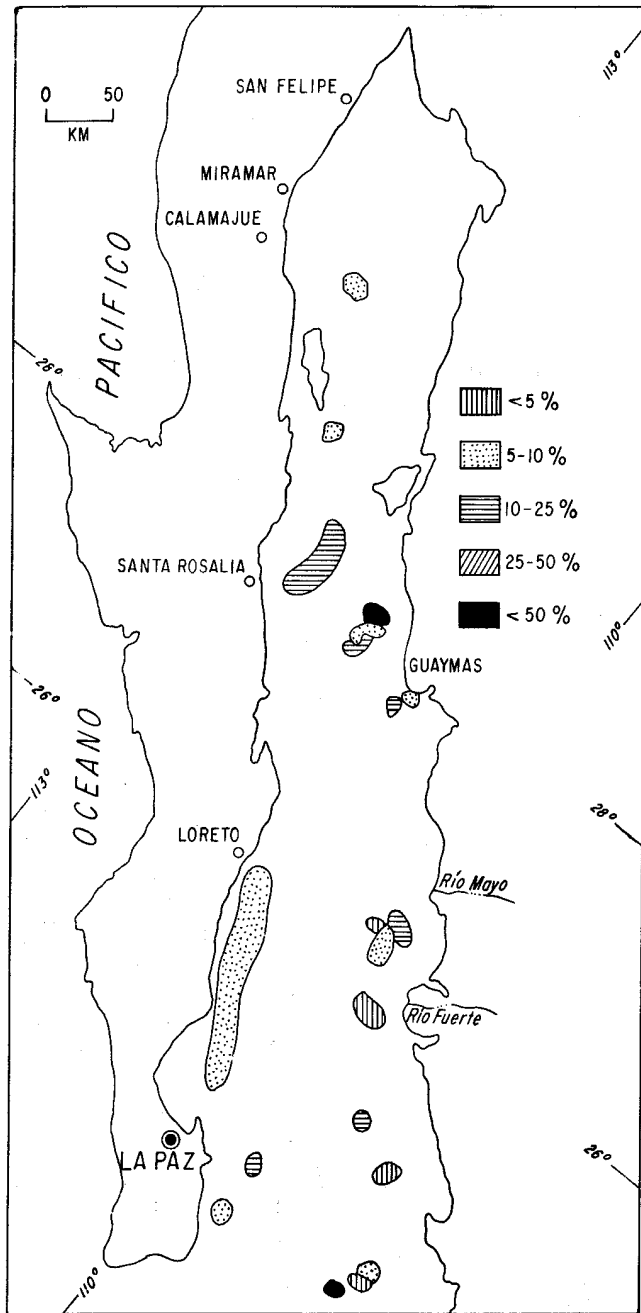


Figura 4.-Distribución de *Globigerina pachyderma incompta* en el área muestreada del Golfo de California. Porcentajes relativos a la población total.

rentes presiones ambientales y a estadios distintos del desarrollo ontogenético de la especie, las cuales se han ido acumulando en el fondo del océano.

DISCUSIÓN

La abundancia absoluta de las especies, el número de éstas por estación (Tabla 2), así como su distribución y frecuencia (Figuras 2-4), permiten hacer las consideraciones siguientes:

La microfaua de foraminíferos planctónicos del Golfo de California corresponde en su mayoría a una asociación euritermal, compuesta por morfotipos del

Tabla 3.- Lista faunística de las especies y subespecies de foraminíferos planctónicos (IGM: Instituto de Geología, México; Mi: Colección micropaleontológica).

| | |
|--|-----------|
| 1.- <i>Globigerina bermudezi</i> Seigle, 1963 | IGM- 1-Mi |
| 2.- <i>G. bulloides apertura</i> Cushman, 1919 | IGM- 2-Mi |
| 3.- <i>G. bulloides bulloides</i> d'Orbigny, 1826 | IGM- 3-Mi |
| 4.- <i>G. bulloides quadrilatera</i> Galloway y Wissler, 1927 | IGM- 4-Mi |
| 5.- <i>G. bulloides umbilicata</i> Orr y Zaitzeff, 1971 | IGM- 5-Mi |
| 6.- <i>G. bulloides</i> aff. <i>G. umbilicata</i> Orr y Zaitzeff, 1971 | IGM- 6-Mi |
| 7.- <i>G. calida calida</i> Parker, 1962 | IGM- 7-Mi |
| 8.- <i>G. calida praecalida</i> Blow, 1969 | IGM- 8-Mi |
| 9.- <i>G. sp. cf. G. falcensis</i> Blow, 1959 | IGM- 9-Mi |
| 10.- <i>G. megastoma</i> s. l. Earland, 1934 | IGM-10-Mi |
| 11.- <i>G. pachyderma incompta</i> (Cifelli, 1961) | IGM-11-Mi |
| 12.- <i>G. pachyderma pachyderma</i> (Ehrenberg, 1861) | IGM-12-Mi |
| 13.- <i>G. sp. aff. G. pachyderma incompta</i> (Cifelli, 1961) | IGM-13-Mi |
| 14.- <i>G. quinqueloba</i> Natland, 1938 | IGM-14-Mi |
| 15.- <i>G. sp. aff. G. riveroae</i> Bolli y Bermúdez, 1965 | IGM-15-Mi |
| 16.- <i>Globigerinita glutinata</i> (Egger, 1895) | IGM-16-Mi |
| 17.- <i>G. uvula uvula</i> (Ehrenberg, 1861) | IGM-17-Mi |
| 18.- <i>Globigerinoides conglobatus</i> (Brady, 1879) | IGM-18-Mi |
| 19.- <i>G. sp. cf. G. parkerae</i> (d'Orbigny, 1826) | IGM-19-Mi |
| 20.- <i>G. elongatus</i> (Bermúdez, 1961) | IGM-20-Mi |
| 21.- <i>G. ruber</i> (d'Orbigny, 1839) | IGM-21-Mi |
| 22.- <i>G. tenellus</i> Parker, 1958 | IGM-22-Mi |
| 23.- <i>G. trilobus immaturus</i> LeRoy, 1939 | IGM-26-Mi |
| 24.- <i>G. trilobus sacculifer</i> (Brady, 1877) | IGM-27-Mi |
| 25.- <i>G. trilobus trilobus</i> (Reuss, 1850) | IGM-28-Mi |
| 26.- <i>Globoquadrina dutertrei</i> s. l. (d'Orbigny, 1839) | IGM-29-Mi |
| 27.- <i>G. dutertrei</i> A. Rozo-Vera, 1984 | IGM-31-Mi |
| 28.- <i>G. dutertrei blowi</i> Rögl y Bolli, 1973 | IGM-32-Mi |
| 29.- <i>Globorotalia acostaensis</i> (Blow, 1959) | IGM-33-Mi |
| 30.- <i>G. hirsuta</i> (d'Orbigny, 1839) | IGM-34-Mi |
| 31.- <i>G. menardii cultrata</i> (d'Orbigny, 1839) | IGM-35-Mi |
| 32.- <i>G. menardii menardii</i> (Parker, Jones y Brady, 1865) | IGM-36-Mi |
| 33.- <i>G. scitula</i> (Brady, 1882) | IGM-37-Mi |
| 34.- <i>G. tumida</i> (Brady, 1877) | IGM-38-Mi |
| 35.- <i>Globorotaliaoides trema</i> Lipps, 1964 | IGM-39-Mi |
| 36.- <i>G. sp. A</i> Rozo-Vera, 1984 | IGM-40-Mi |
| 37.- <i>G. sp. B</i> Rozo-Vera, 1984 | IGM-41-Mi |
| 38.- <i>Hastigerina aequilateralis</i> (d'Orbigny, 1839) | IGM-42-Mi |
| 39.- <i>H. siphonifera</i> (Cushman, 1917) | IGM-43-Mi |
| 40.- <i>Orbulina suturalis</i> Brönnimann, 1951 | IGM-44-Mi |
| 41.- <i>O. universa</i> d'Orbigny, 1839 | IGM-45-Mi |
| 42.- <i>Pulleniatina finalis</i> Banner y Blow, 1967 | IGM-46-Mi |
| 43.- <i>P. obliquiloculata</i> (Parker y Jones, 1865) | IGM-47-Mi |
| 44.- <i>P. primalis</i> Banner y Blow, 1968 | IGM-48-Mi |
| 45.- <i>Turborotalita anfracta</i> (Parker, 1967) | IGM-49-Mi |
| 46.- <i>T. iota</i> (Parker, 1962) | IGM-50-Mi |
| 47.- <i>T. sp. A</i> Rozo-Vera, 1984 | IGM-51-Mi |
| 48.- <i>T. sp. B</i> Rozo-Vera, 1984 | IGM-52-Mi |

grupo *Globigerina bulloides* (Figura 2).

Las especies menos abundantes, pero siempre constantes, están constituidas por faunas de transición como *Globigerina megastoma* s. l. y el complejo *Globoquadrina dutertrei* (Figura 3)-*Globigerina pachyderma incompta* (Figura 4).

Hacia la porción septentrional del Golfo de California, en particular en el área próxima al Canal de Ballenas, la fauna predominante está constituida por especies euritermales, asociadas con especies de transición más afines a conjuntos de aguas frías (i.e. *Globigerina bulloides bulloides* y formas relacionadas), lo cual indica la presencia de este tipo de masas de agua hacia la superficie, relacionadas, probablemente, con fenómenos de surgencias y/o a la fuerte mezcla provocada por las corrientes intensas de mareas.

En el área de la Cuenca de Guaymas, la fauna predominante es también la euritermal, que está asociada a especies de aguas frías como *Globigerina pachyderma incompta* (Figura 4), *G. quinqueloba* y, en menor proporción, *G. pachyderma pachyderma* y *Globigerinita uvula uvula*. Este conjunto contiene, igualmente, especies de aguas templadas, representadas por morfotipos del complejo *Globoquadrina dutertrei* A, las cuales, aunque no abundan, están en porcentajes muy significativos.

Esta asociación, por la mezcla de faunas que la

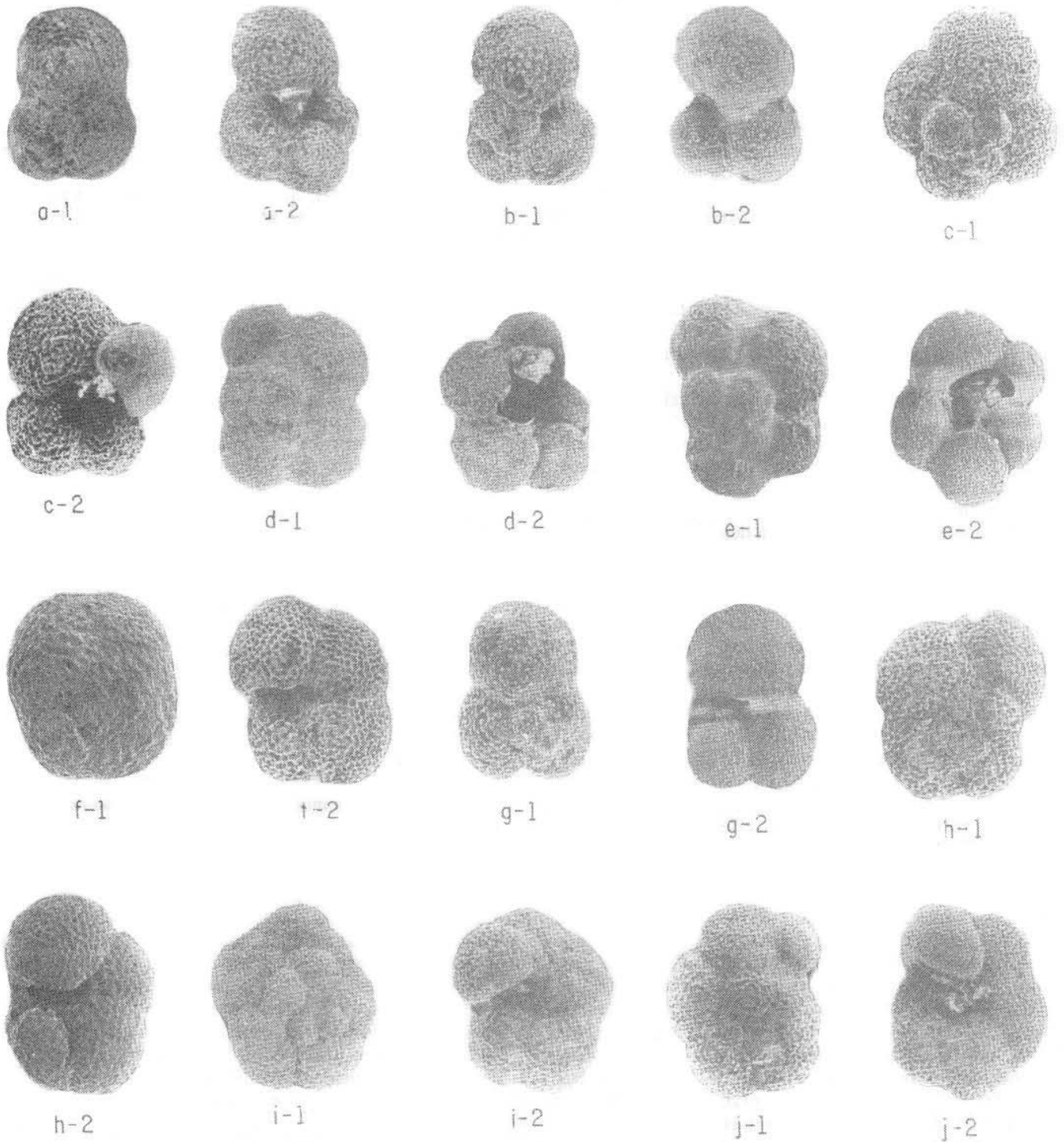


Figura 5.- a-1, *Globigerina bulloides apertura* Cushman, vista espiral, X 96; a-2, vista umbilical, X 104. b-1, *Globigerina bulloides bulloides* d'Orbigny, vista espiral, X 98; b-2, vista umbilical, X 122. c-1, *Globigerina bulloides quadrilatera* Galloway y Wissler, vista espiral, X 128; c-2, vista umbilical, X 125. d-1, *Globigerina bulloides umbilicata* Orr y Zaitzeff, vista espiral, X 82; d-2, vista umbilical, X 74. e-1, *Globigerina bulloides* aff. *G. umbilicata* Orr y Zaitzeff, vista espiral, X 82; e-2, vista umbilical, X 72. f-1, *Globigerina paucichambrata incompta* (Cifelli), vista espiral, X 151; f-2, vista umbilical, X 128; g-1, *Globigerinita glutinata* (Egger), vista espiral, X 142; g-2, vista umbilical, X 125. h-1, *Globoquadrina dutertrei* s. l., vista espiral, X 133; h-2, vista umbilical, X 100. i-1, *Globoquadrina dutertrei* s. l., vista espiral, X 62; i-2, vista umbilical, X 62. j-1, *Globoquadrina dutertrei blowi* Rögl y Bolli, vista espiral, X 100; j-2, vista umbilical, X 98.

conforman, así como por el hecho de estar en una de las regiones con mayor diversidad y abundancia de individuos, parece responder a condiciones de surgencias iniciales, donde la zona de oxígeno mínimo no está del todo

establecida y los efectos de disolución no son muy marcados, permitiendo el florecimiento de esta fauna.

La zona muestreada entre los afluentes del Río Mayo tiene un contenido faunístico similar al del área

de Guaymas; en adición, presenta, en porcentajes muy reducidos, formas del grupo *Globorotalia menardii* y especies como *Pulleniatina obliquiloculata* (Tabla 2), características de aguas cálidas, así como *Orbulina universa* (talla reducida) y *Globigerinoides ruber* (sin coloración), ambas especies transicionales y generalmente asociadas a áreas templadas y/o perturbadas, lo cual sugiere una mezcla aún más marcada de faunas, causada por el aporte de aguas frías hacia la superficie, que pudiera estar asociado a surgencias costeras.

La zona delimitada al sur de Loreto, así como el área de la Cuenca de La Paz, están constituidas básicamente por las mismas especies en proporciones muy similares. La fauna predominante está formada por las variedades del grupo *Globigerina bulloides* (Figura 2) y el complejo de *Globoquadrina dutertrei* (Figura 3) y *Globigerina pachyderma incompta* (Figura 4).

En la zona sur de Loreto, esta asociación está unida a especies transicionales poco abundantes del grupo *Globorotalia menardii*, *Globigerinoides ruber* (sin coloración), *Orbulina universa* (talla reducida) y especies accesorias, tanto de aguas frías como cálidas, en porcentajes casi insignificantes.

Una asociación igual a la ya descrita se encuentra en el área de La Paz, sólo que ahí está enriquecida por una fauna de aguas cálidas, abundante, formada sobre todo por *Globorotalia scitula* y *G. tumida* (Tabla 2). También es frecuente la presencia de especies como *Globigerina quinqueloba*, componente importante, junto con *G. pachyderma incompta* y el grupo *G. bulloides*, de la Corriente de California.

Con base en los conjuntos foraminíferos, puede decirse que las áreas del sur de Loreto y de La Paz presentan una correspondencia con áreas de surgencias. Particularmente en la zona de La Paz, parece que el centro de surgencias está circundado por un frente térmico, lo cual es el resultado del encuentro de las aguas cálidas, tanto del Golfo de California como del Océano Pacífico tropical, con las aguas frías de la Corriente de California (Griffiths, 1968).

En el área muestreada, en la porción suroriental de la boca del golfo, existe gran influencia de las aguas del Océano Pacífico Tropical Oriental. Esta área presenta una gran diversidad de especies, una frecuencia considerable de organismos (Tabla 2) y sus constituyentes principales son, en general, formas afines a aguas cálidas: *Globigerinita glutinata*, *Globigerinoides conglobatus*, *G. tenellus*, *G. trilobus trilobus*, *G. trilobus sacculifer*, *Orbulina universa* (gran talla) y otras especies menores de *Globigerinoides* de aguas cálidas.

La asociación reseñada con anterioridad manifiesta una influencia muy marcada de aguas cálidas relacionada, probablemente, con la penetración, por lo menos hasta esta zona, de las masas de agua del Océano Pacífico Tropical Oriental.

Es interesante destacar que la demarcación de cada una de las zonas, cuya composición faunística parece estar relacionada con un área de surgencia, concuerda con las tipificaciones efectuadas por otros autores, como Roden y Groves (1959), en áreas de surgencias, o como en el caso del área del Canal de Ballenas, zonas propues-

tas como particularmente ricas en plancton (Byrne y Emery, 1960), donde la concentración de nutrientes, como fosfatos y nitratos, es considerablemente alta, en relación con la distribución general de éstos, en el Golfo de California (Álvarez-Borrego *et al.*, 1978).

Por otro lado, los resultados obtenidos en la zona localizada en la parte suroriental de la boca del golfo concuerdan con lo postulado por Álvarez-Borrego y Schawrtzlose (1979), quienes señalan, en esta zona, la influencia de masas de agua provenientes del Océano Pacífico Tropical Oriental.

CONCLUSIONES

Con base en las afinidades térmicas de los conjuntos de foraminíferos planctónicos presentes en cada estación muestreada, su frecuencia y abundancia relativa, se detectó áreas, propuestas aquí como asociadas a centros de surgencias o bajo la influencia de las masas de agua provenientes del Océano Pacífico Tropical Oriental y/o la Corriente de California. Sin embargo, debido al muestreo tan reducido, fue imposible delimitar la extensión de cada una de esas áreas.

Es evidente que el muestreo realizado no abarca todas las áreas clave del Golfo de California; es decir, áreas con influencia de aguas superficiales o subsuperficiales diferentes, masas de agua modificadas por procesos de evaporación, corrientes de marea, zonas con gran influencia de terrígenos (*i.e.* la desembocadura del Río Colorado), surgencias y/o frentes térmicos. De igual manera, sería necesario muestrear la parte central del Golfo de California, para tipificar los conjuntos de foraminíferos planctónicos y, por ende, las masas de agua presentes en esta zona tan extensa.

Asimismo, es patente que la composición faunística, en cuanto a foraminíferos planctónicos se refiere, no muestra cambios notables; en términos generales, son conjuntos euritermales. Sin embargo, algunas especies y subespecies, en particular el complejo *Globoquadrina dutertrei-Globigerina pachyderma incompta*, presentan una gran diversidad de morfotipos, la cual parece ser efecto de ciertas variables, como son: profundidad, pH, salinidad y, sobre todo, temperatura. Por tanto, sería conveniente realizar, en la columna de agua, muestreos en estas áreas, para entender mejor el comportamiento de las poblaciones vivas de estos grupos de foraminíferos planctónicos, así como tipificar ecotipos, lo cual proporcionaría información valiosa a fin de interpretar las asociaciones fósiles y recientes.

AGRADECIMIENTOS

Las autoras agradecen al Instituto de Geología, UNAM, el permitirles asistir a la campaña oceanográfica y proporcionarles los recursos materiales necesarios para efectuar el trabajo de gabinete; asimismo, hacen patente su reconocimiento al Instituto de Ciencias del Mar y Limnología, UNAM, por la invitación a participar en la Campaña Oceanográfica PALEO-1, BAP-82, organizada por el mismo.

De igual manera, hacen extensivo su reconocimiento al Dr. James Ingle, de la Universidad de Stan-

ford, California, por la revisión crítica de este manuscrito y por sus valiosas opiniones y a los Dres. Saúl Álvarez-Borrego y José Rubén Lara-Lara, del Centro de Investigación Científica y de Educación Superior de Ensenada, B. C., por sus apreciaciones, todas justificadas plenamente.

REFERENCIAS BIBLIOGRÁFICAS

- Álvarez-Borrego, Saúl, 1983, Gulf of California: in Ketchum, B. H., ed., Estuaries and enclosed seas: Amsterdam, Elsevier, p. 427-449.
- Álvarez-Borrego, Saúl, Rivera, N. A., Gaxiola-Castro, Gilberto, Acosta, M. J., y Schwartzlose, R. A., 1978, Nutrientes en el Golfo de California: Ciencias Marinas, v. 5, p. 53-71.
- Álvarez-Borrego, Saúl, y Schwartzlose, R. A., 1979, Masas de agua del Golfo de California: Ciencias Marinas, v. 6, p. 43-63.
- Bandy, O. L., 1961, Distribution of foraminifera, radiolaria and diatoms in sediments of the Gulf of California: Micropaleontology, v. 7, p. 1-26.
- Bandy, O. L., Frerichs, W. E., y Vicent, Edith, 1967, Origin, development and geologic significance of *Neogloboquadrina* Bandy, Frerichs and Vicent, gen. nov.: Cushman Found. Foram. Research Contr., v. 18, p. 152-157.
- Banner, F. T., y Blow, W. H., 1960, Some primary types of species belonging to the superfamily Globigerinaceae: Cushman Found. Foram. Research Contr., v. 11, p. 1-41.
- Bradshaw, J. S., 1959, Ecology of living planktonic foraminifera in the North and Equatorial Pacific Ocean: Cushman Found. Foram. Research Contr., v. 10, p. 25-64.
- Byrne, J. V., y Emery, K. O., 1960, Sediments of the Gulf of California: Geol. Soc. America Bull., v. 71, p. 983-1010.
- Griffiths, R. C., 1968, Physical, chemical and biological oceanography of the entrance of the Gulf of California, spring of 1960: Spec. Sci. Rept. U. S. Fish. Wild. Ser., núm. 573, p. 1-47.
- Margalef, Ramón, 1977, Ecología: Barcelona, Ed. Omega, 951 p.
- Matoba, Yasumochi, y Oda, Motoyoshi, 1982, Late Pliocene to Holocene planktonic foraminifers of the Guaymas Basin, Gulf of California, Sites 477 through 481: in Curray, J. R., Moore, D. G. *et al.*, eds., Initial reports, DSDP 64. Washington, D. C. U. S., Govt. Printing Office, p. 1003-1026.
- Moore, D. G., y Curray, J. R., 1982, Geologic and tectonic history of the Gulf of California: in Curray, J. R., Moore, D. G., *et al.*, eds., Initial reports, DSDP 64. Washington, D. C., U. S., Govt. Printing Office, p. 1279-1294.
- Newmann, Madeleine, 1967, Manuel de micropaléontologie des foraminifères: Paris, Gauthier-Vierlars, 297 p.
- Parker, F. L., 1962, Planktonic foraminiferal species in Pacific sediments: Micropaleontology, v. 8, p. 219-254.
- , 1973, Living planktonic foraminifera from the Gulf of California: Jour. Foram. Research, v. 3, p. 70-77.
- Phleger, F. B., 1960, Ecology and distribution of Recent foraminifera: Baltimore, Johns Hopkins Press, p. 213-276.
- , 1964, Patterns of living benthonic foraminifera, Gulf of California: in van Andel, Tj. H., y Shor, G. G., Jr., eds., Marine geology of the Gulf of California, Symp., Tulsa. Am. Assoc. Petroleum Geologists Mem., 3, p. 377-394.
- , 1976, Interpretations of late Quaternary foraminifera in deep sea cores: in Riedel, W. R., y Saito, T., eds., Progress in Micropaleontology, Nueva York, Micropaleontology Press, Am. Mus. Nat. Hist., p. 263-277.
- Roden, F. E., y Groves, G. W., 1959, Recent oceanographic investigations in the Gulf of California: Jour. Marine Research, v. 8, p. 10-35.
- Rögl, Fred, y Bolli, H. M., 1973, Holocene to Pleistocene foraminifera of Leg 15, Site 147 [Cariaco Basin (Trench), Caribbean Sea] and their climatic interpretations: in Edgar, N. T., Saunders, J. B. *et al.*, eds., Initial reports, DSDP 15. Washington, D. C., U. S. Govt. Printing Office, p. 553-616.
- Rozo-Vera, G. A., 1984, Distribución de foraminíferos planctónicos en sedimentos superficiales del Golfo de California: México, D. F., Univ. Nal. Autón. México, Fac. Ciencias, tesis profesional, 68 p. (inédita).
- Steineck, P. L., y Fleisher, R. L., 1978, Towards the classical evolutionary reclassification of Cenozoic Globigerinacea (Foraminiferida): Jour. Paleontology, v. 52 p. 618-632.
- Walton, W. R., 1964, Recent foraminiferal ecology and paleoecology: in Newell, J., ed., Approches to Paleoecology. Nueva York, John Wiley and Sons, p. 151-237.

Manuscrito presentado: 19 de octubre de 1984.

Manuscrito corregido devuelto por el autor: 22 de enero de 1986.

Manuscrito aceptado: 8 de abril de 1986.